

立命館大学理工学部 正員 大同 淳之  
立命館大学大学院 学生員 内藤 敏弘

1. はしがき 急こう配の自然河道は一般に水深に比べて粒径が大きく、相対的に抵抗が大きいといわれる。たとえば神田・喜久里は粗面上の薄層流に関する研究で水路床こう配の増加と共に、抵抗係数の値が大きくなることを報告している。しかしながら、河床砂れきの形状や分布を考慮した評価法は、いまだ十分に解明されていない。さきに著者の一人は、砂れき粗粒粗度を対象とした実験において、若干の解析を行なったが、任意の配列の砂れきを対象にしたとき、しゃへい係数の一般的なあつかいに問題が残された。本研究ではこれららの特性を明らかにするために桿型粗度の抵抗特性をとりあげた。

2. 実験 実験は、長さ8m、幅20cmで矩形断面の鋼製可変こう配水路を行なった。水路底面全体に、桿粗度(断面0.5cm×0.5cm 積棒)を配置し、流量、水面こう配、水深および桿の抗力などを測定した。桿間隔は、2.5cm, 5cm および10cm の3種類とし、水路上流端より6.5m の地点において5断面でポイントゲージを用いて、桿上・桿間の水深または静圧管により水面こう配をそろそろ測定した。桿の抗力は、真鍮製桿(断面1.0cm×1.0cm)の上・下流面にそろそろ直径0.8mmの小孔を水深方向に5ヶ所設けてマノメータで測定した。また抗力係数を求めるため桿頂前面の流速をピトー管により同じくマノメータで測定した。

3. 解析 山岡は後流の発達の解析に一手法を示し、平野ら<sup>3)</sup>は比較的大きい粗度が直線的な後流層をもつという仮定の下で計算を行なった。図-1に示すモデルにおいても平野らに倣って1個の桿粗度が1:mの直線しゃへい或をもつとすると、桿粗面上の流れはくさび形の河床上の流山とみなすことができる。いま桿粗度前面に十分近く検査断面の諸量に添字1および2をつけ、単位幅あたりのこの閉曲面に注目することにする。河床のせん断抵抗は、抵抗の線型性が成立すれば、桿の抗力、表面まさつ力および桿のあいだの表面まさつ力の和であるとして、運動量の関係式より抵抗則を求める。

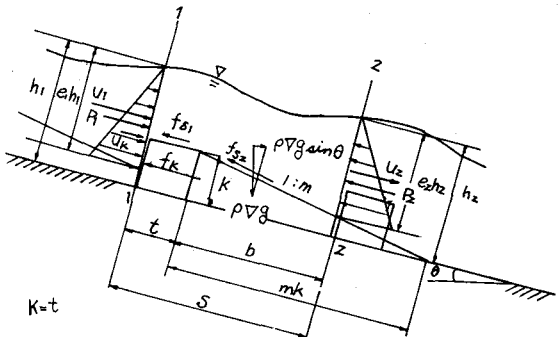


図-1 後流モデル

河床のせん断抵抗をFとすれば

$$F = f_K + f_{S1} + f_{S2} = \rho V g \sin \theta + \frac{\rho g}{2 \cos \theta} \left\{ (e_1 h_1)^2 - (e_2 h_2)^2 \right\} + \rho \left\{ (h_1 - k) \left( \frac{(h_1 - k + b/m)}{h_1 - k} U_1^2 - e_2 h_2 U_2^2 \right) \right\} \quad (1)$$

ここに  $f_K$  は桿の抗力、  $f_{S1}$  は桿の表面まさつ力、  $f_{S2}$  は後流表面のまさつ力、  $V$  は閉曲面内の流水の体積、  $e_1$  および  $e_2$  はそれぞれ有効水深を算出する換算係数、  $P$  および  $P_2$  は水压、  $\theta$  は水路底こう配である。  $f_{S1}$  は  $f_K$  に含まれるものとし、  $f_{S2}$  は後流の形が桿中心で最も大きくなる波形であるから、高さ  $R_2$ 、波長入の波形粗面上のまさつとして

$$f_{S2} = b \cdot \frac{f_k}{8} \rho U_m^2, \sqrt{\frac{8}{f_k}} = 2.0 \log \left( \frac{h_m}{R_2} \frac{R_2}{k_s} \beta_1 \right)$$

であらわされるとする。ここで  $b, l$  は波形粗面の長さ、  $\beta_1$  は抵抗則中の定数である。開水路粗面においては、基底のとりかたが問題となるが、適当な基面を選ばれ、そのときの流山の平均流速を  $U_m$ 、平均水深を  $h_m$  とすれば、連続の条件より、  $U_m h_m = e_1 h_1 U_1 = e_2 h_2 U_2$  がなり立つ。 $f_k$  は抗力係数  $C_d$  を用いて  $f_k = \frac{l}{C_d} \rho E K U_*^2$  ここに  $l$  は桿のしゃへい係数、  $U_*$  は桿前面における代表流速であり  $U_*/U_* = 8.5 + 5.75 \log \frac{2}{B_2 k_s} / k_s$

$U_k/U_* = 8.5 + 5.75 \log B_2 k/k_s$  をみたすものとする。 $B_2$  は理論的河床面からの高さの補正係数である。単位長あたりの柱の数を  $n$  とすれば、 $n = 1/S$  より

$$C_o = nF = (f_k + f_{s1} + f_{s2})/S$$

$U_k ghM$  とし、連続条件を用いて式(1)から、次のようないずれかの式が導かれる。

$$\frac{U_m}{U_*} = \frac{\left(\frac{(h_1/k)^2 - (h_2/k)^2}{2 \sin \theta \cos \theta \cdot h/k} - \frac{C_o \epsilon \{8.5 + 5.75 \log (\frac{B_2 k}{k_s})\}}{2}\right)}{\sqrt{\frac{1}{4} \left(\log \left(\frac{h_1}{k_s} \lambda \frac{k_s}{k} \frac{B_2}{k_s} \beta_1\right)\right)^2 - \frac{1}{\xi^2} \left\{ \left(\frac{h_1/k - b/mk}{h_2/k - b/mk}\right) - \left(\frac{\epsilon_1}{\epsilon_2}\right)^2 \left(\frac{h_1}{h_2} \cdot \frac{k_1}{k_2}\right) \right\}}} \quad (3)$$

ここで  $\epsilon_1 = 1 - (k_1/b - b/mk_1)$ ,  $\epsilon_2 = 1 - (k_2/b - b/mk_2)$ ,  $\xi = U_m/U_*$ ,  $\xi = h_m/h$  および  $\beta_i$  は換算係数である。

4. 抵抗係数  $C_D = 2D/\rho k U_k^2$  で定義される抵抗係数と  $Re = U_k k / \nu$  の関係は図-2に示す。ここに  $D$  は角柱単位幅当たりの抵抗とする。図中において、平野らの実測値との比較を行なっている。こう配おむけ柱間隔の区別などせず十分な比較を行なえないが、 $C_D$  の値は  $Re$  数に関係なく 1.0 前後で分布している。本実験によれば、同様に  $Re$  数に関係なく、 $C_D$  の値はこう配の増加に伴い、 $C_D = 2.5$  近くまで及んでいる。しかし、こう配が小さい間は平野らと同様に  $C_D = 1$  前後の値をとるものと思われる。よってグラフより、しゃへい係数とは、同一こう配における  $S/k \rightarrow \infty$  における抵抗係数を  $C_{D\infty}$  とすれば

$$f_k = \rho k C_D U_k^2 / 2 = \rho \epsilon k C_{D\infty} U_k^2 / 2 \quad \text{より} \quad \epsilon = C_D / C_{D\infty}$$

で定義する。

5. 実験比較 図-3は、水路底を基面とし、柱中間部における水深と流速をそれぞれ  $h_m$ ,  $U_m$  としたときの実測値である。従来の研究のように  $f_{s2} < f_k$  とみなせるものとし  $f_{s2}$  の項を無視して実測値と式(3)の比較を行なった。 $m$  を変数として、他の係数を一般的な形で代入して得られた計算曲線を図中の実線および破線で、その範囲を示した。実測のしゃへい係数をより得らせる  $m$  の値は、こう配おむけ柱間隔の変化で変動する。(たとえば  $\epsilon = 0.0100$  において  $S/k = 5$  のとき  $m = 9 \sim 10$ ,  $S/k = 10$  のとき  $m = 17 \sim 21$ ,  $S/k = 20$  のとき  $m = 20 \sim 27$ ) また計算曲線が示すように、急こう配になるとつれて  $m$  の値は必ずしも問題ではなく、他の項を効いてくるものと思われる。諸係数の決定法が不十分であるが、後流が直線しゃへい域をもつものとして、 $m$  の変化による抵抗則の変動を調べた。今後は、柱の抵抗と他の抵抗項、特に表面までの抵抗の頂との相関関係を明確にし、砂粒粗度流れの抵抗則を知る手がかりとしたい。

### 参考文献

- 1) 神田・喜久里: 棚面上の薄層流の抵抗則に関する考察, 建設工研報告, 20号, 1978.11.
- 2) 大同: 不規則な粗度をもつ固定床水路の抵抗, 土木学会第29回年講, 1974.10.
- 3) 平野・岩元: 粗度の大まき流れにおける抵抗と平均流速について, 新砂防, 110, 1979.2.

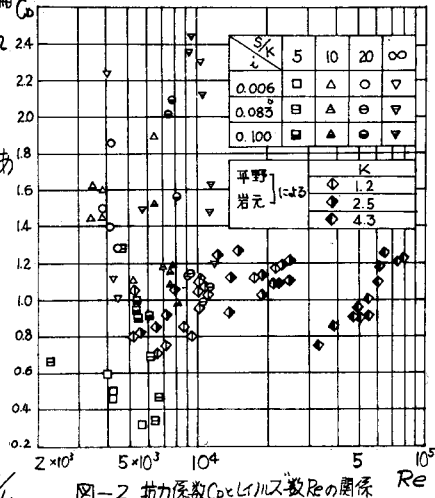


図-2 抵抗係数  $C_D$  とレイルズ数  $Re$  の関係

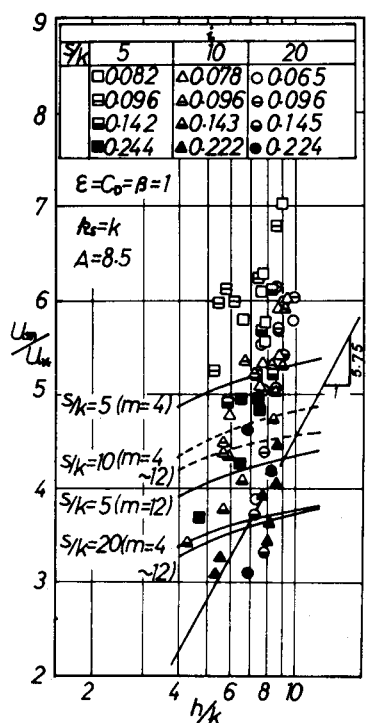


図-3 実測値と計算曲線